

シンクロトロン光を用いた トポグラフィとイメージング

鈴木芳文, 近浦吉則



九州工業大学 大学院
工学研究院
先端機能システム工学系

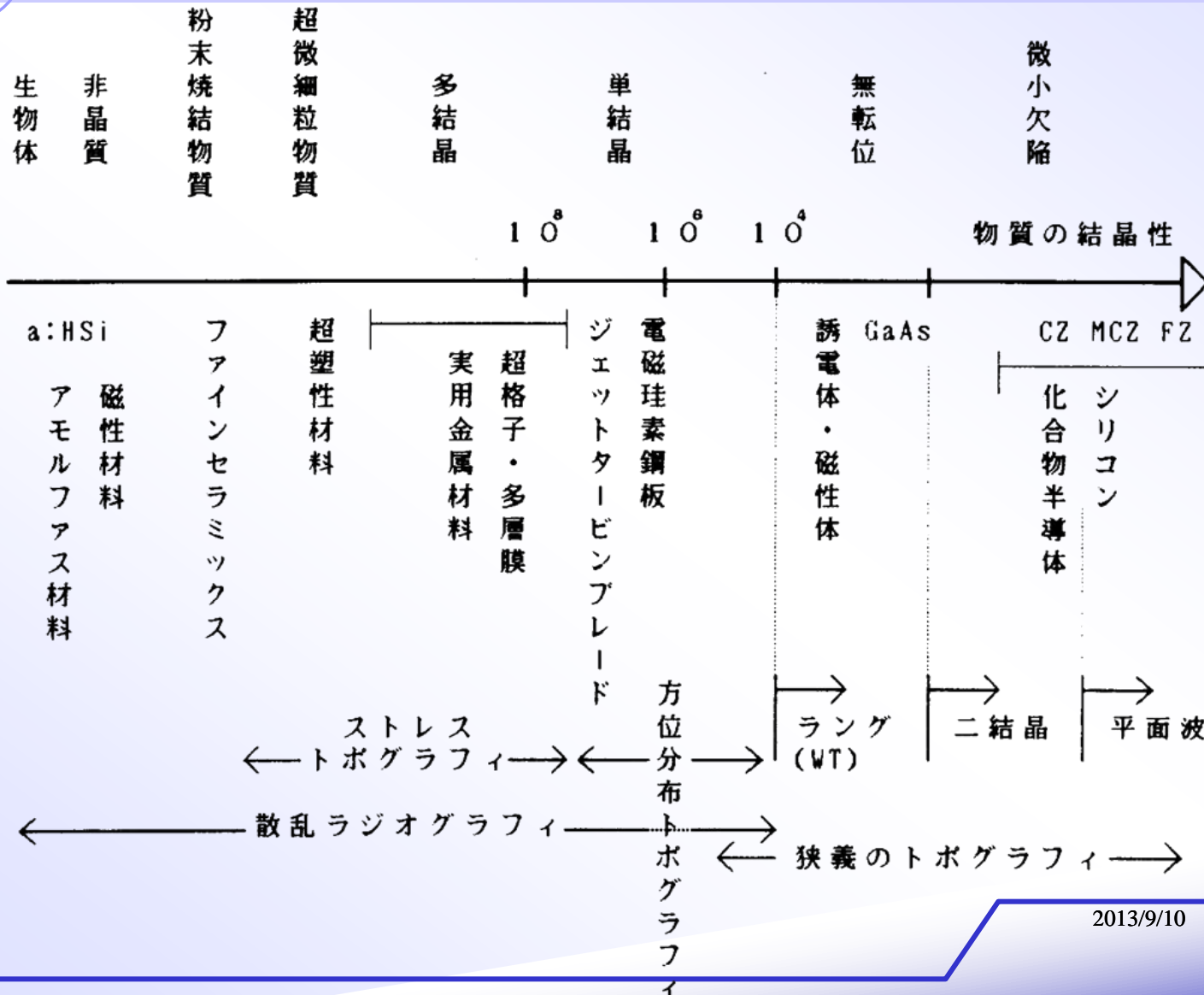
2013/9/10



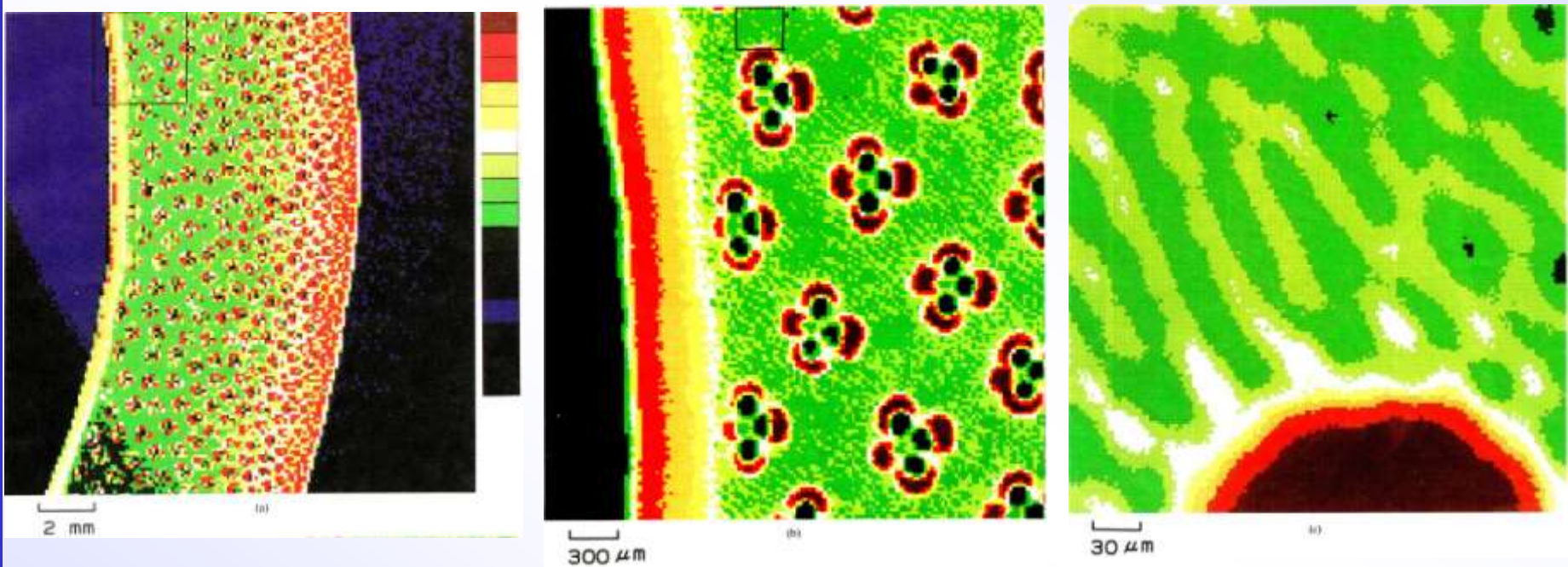
本日のおはなし

- X線散乱トポグラフィ
 - X線散乱トポグラフィ(SR)の概念ならびに用途
 - 方位分布トポグラフィ(OR)、再構成方位分布トポグラフィ(ROR)
 - 例
- 動力学回折理論シミュレーション(高木方程式)
- CCDを用いた方位分布トポグラフィへの適応
- 極微小角入射X線回折(In-Plane 回折)

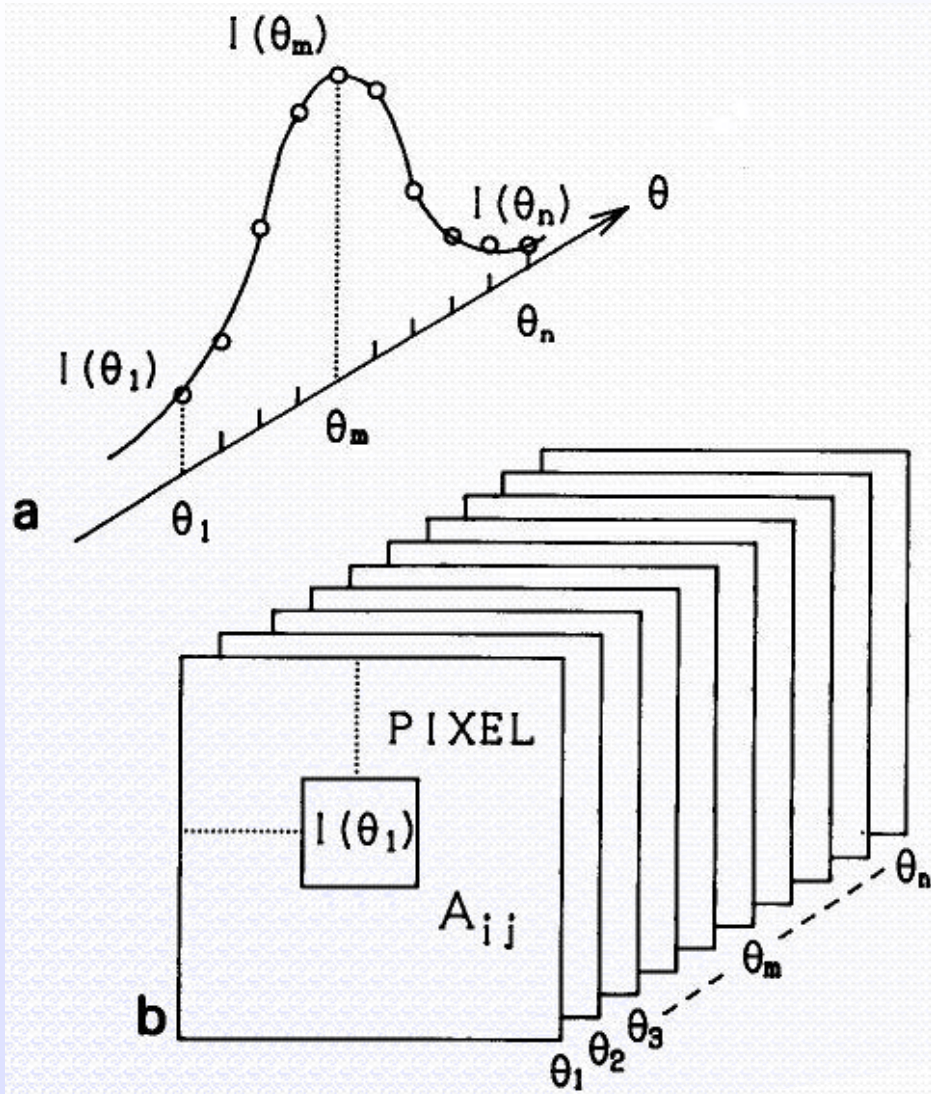
物質の結晶性と各種トポグラフィの関係



High-Resolution X-ray Scattering Topography Using Synchrotron Radiation Microbeam

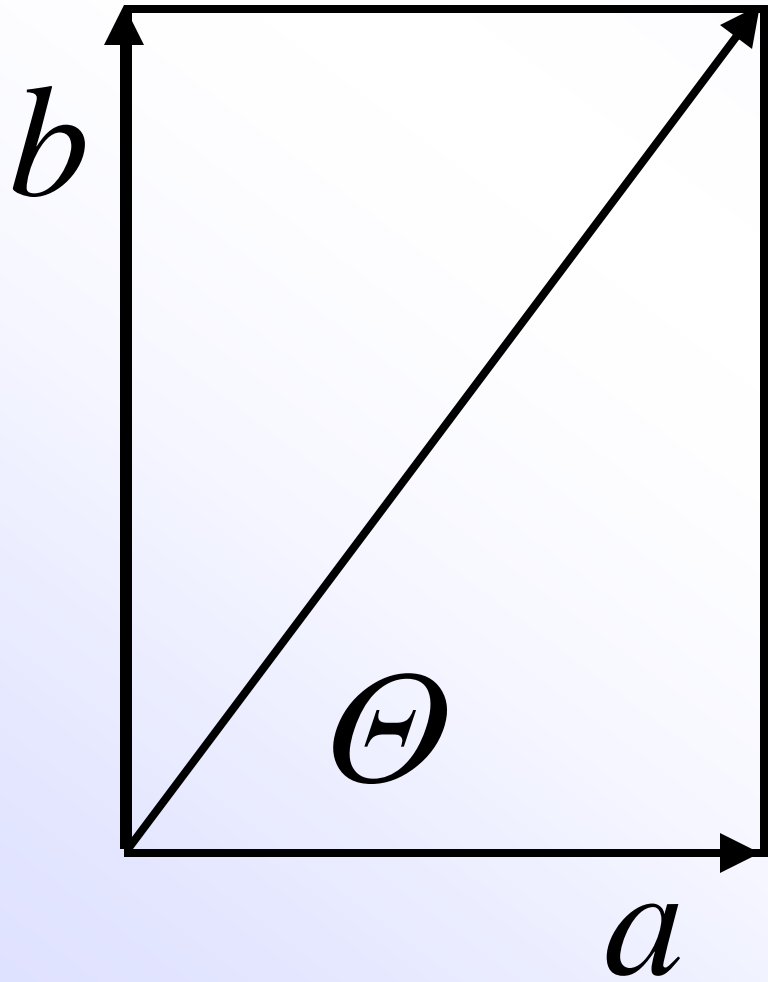


方位分布トポグラフィ(one axis OR)





再構成方位分布トポグラフィ(ROR)



R

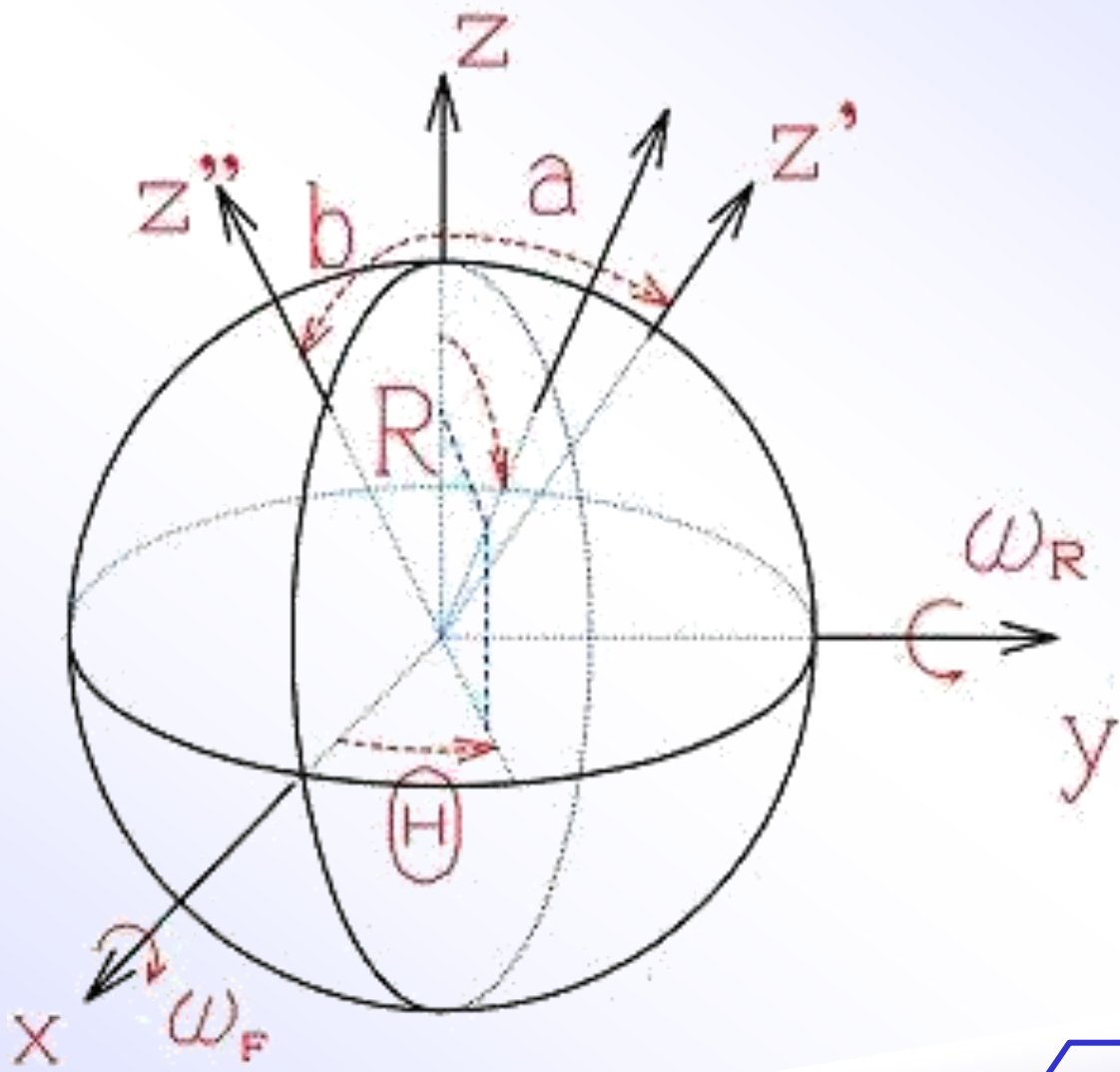
a

b

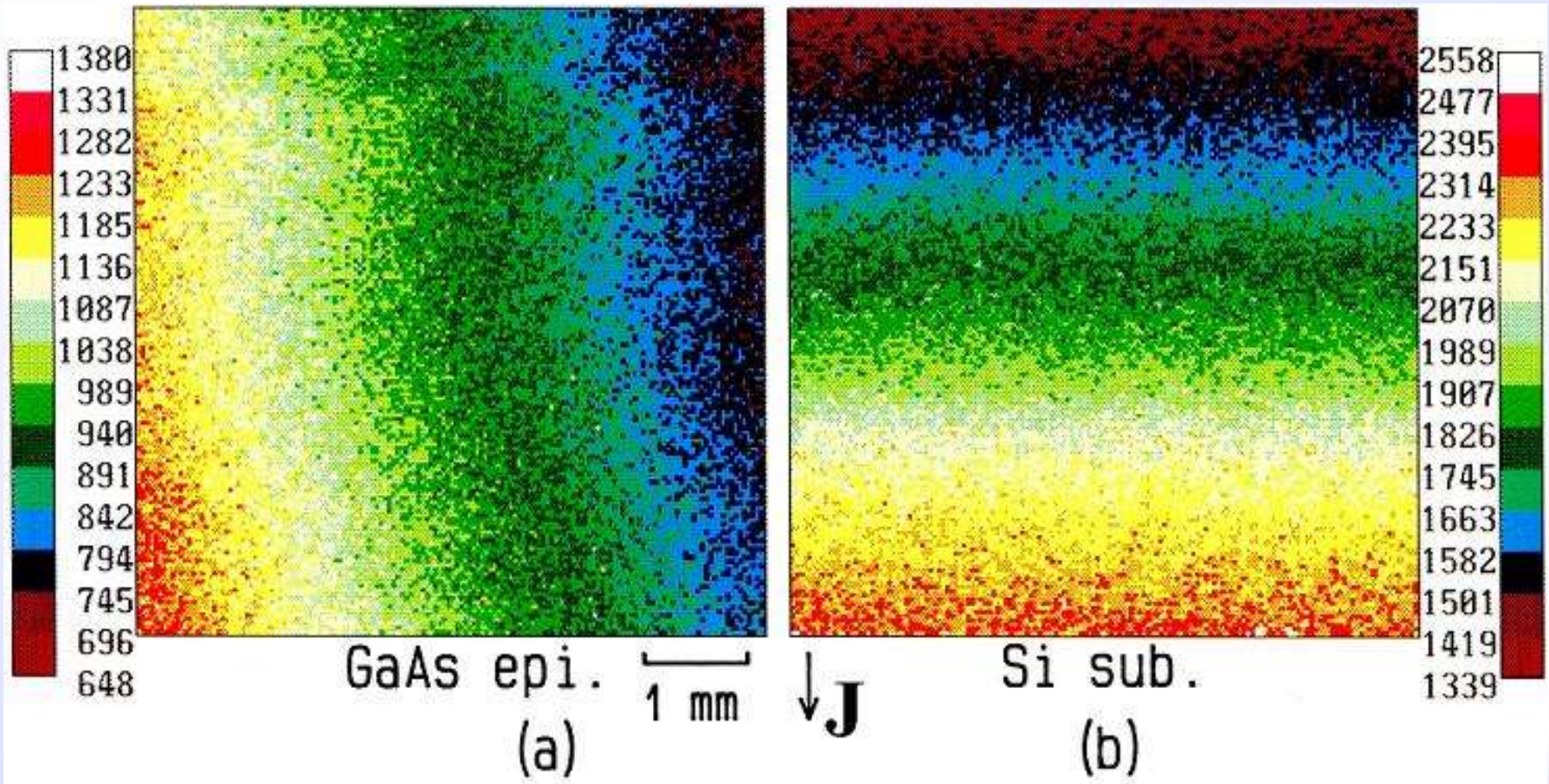
$$\Theta = \tan^{-1} \frac{a}{b}$$

$$R = \sqrt{a^2 + b^2}$$

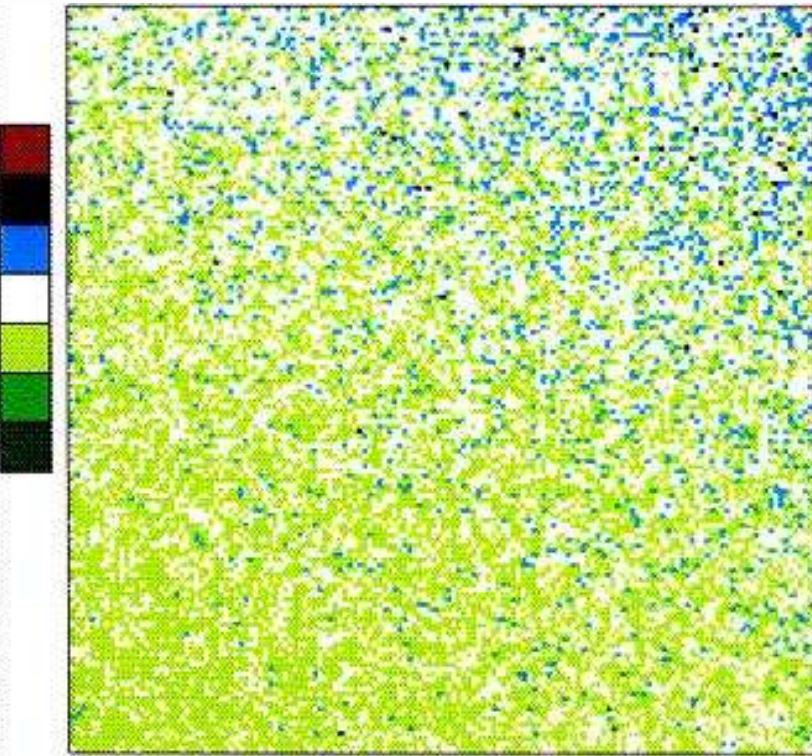
再構成方位分布トポグラフィ(ROR)



X-ray Scattering Topography (SR) for GaAs on Si



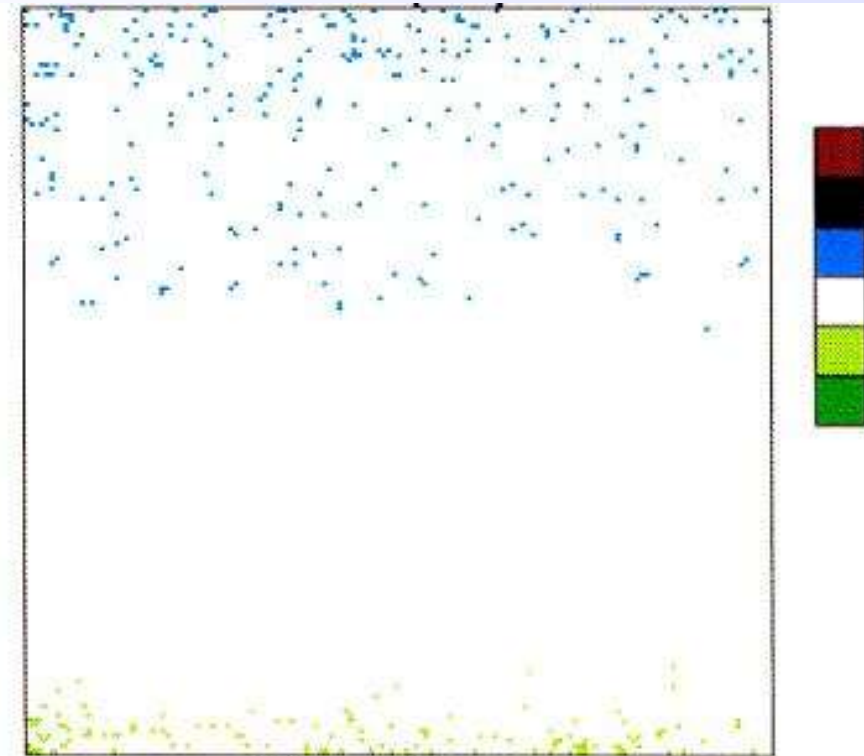
Orientation Topography (OR) for GaAs on Si



GaAs epi.
(a)

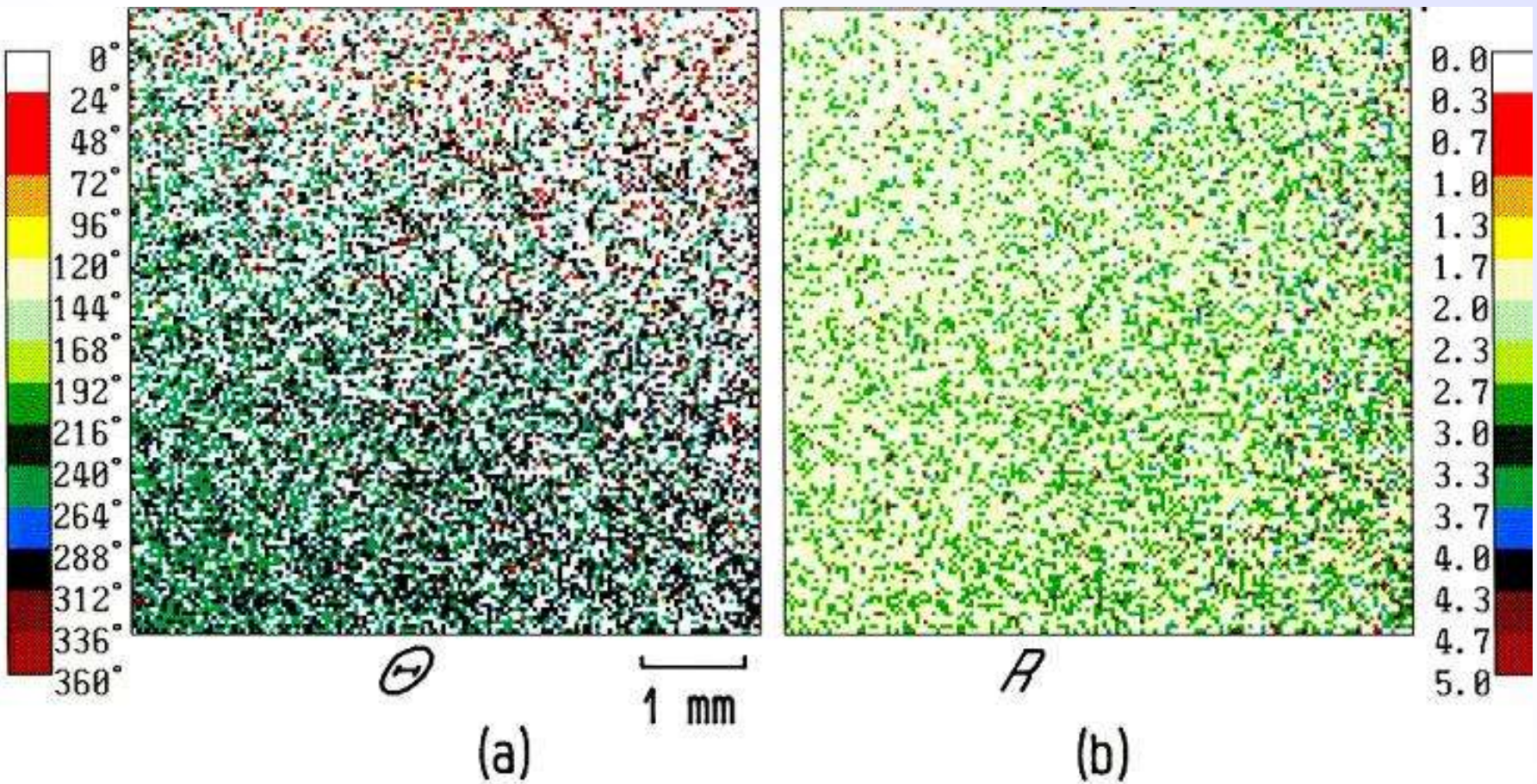
1 mm

↓ J

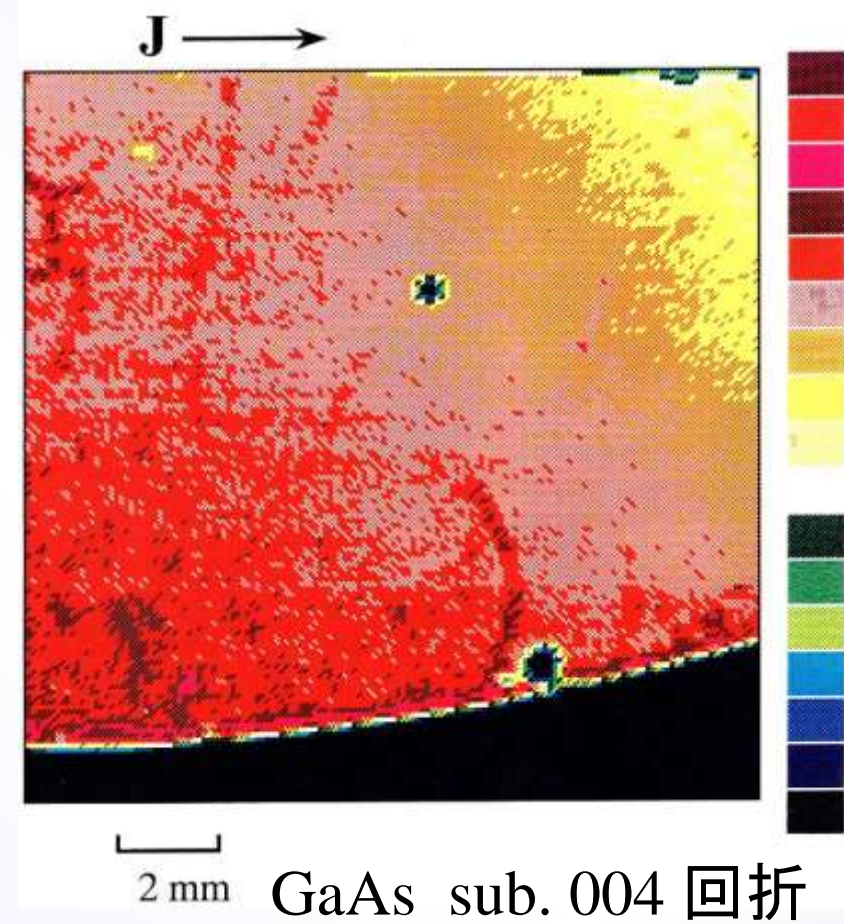
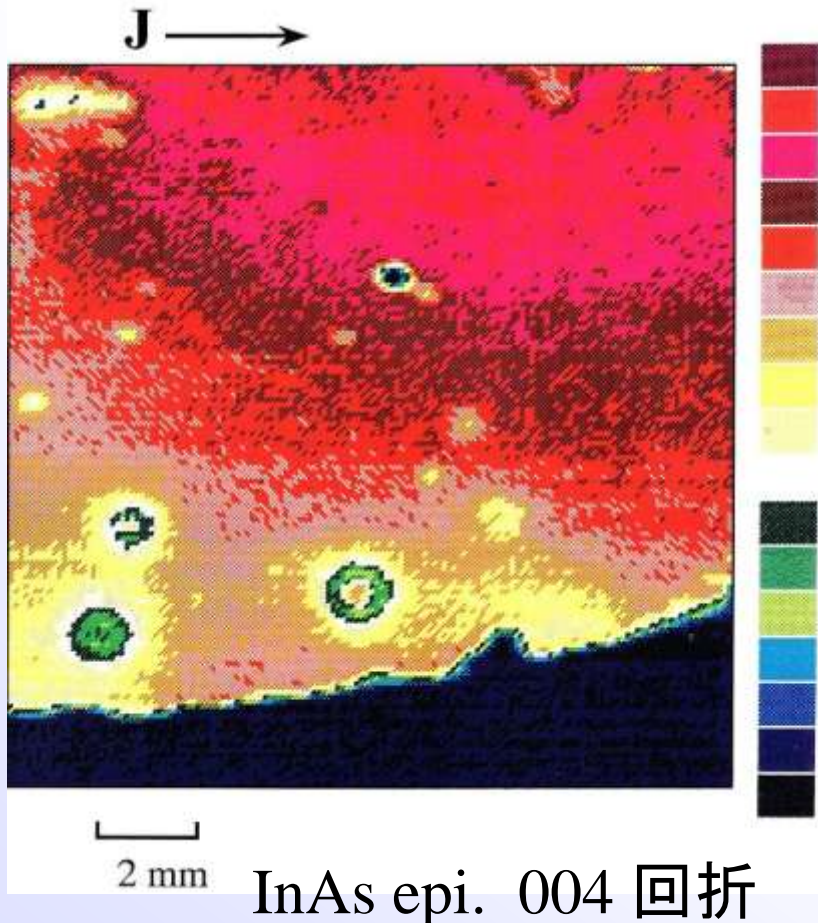


Si sub.
(b)

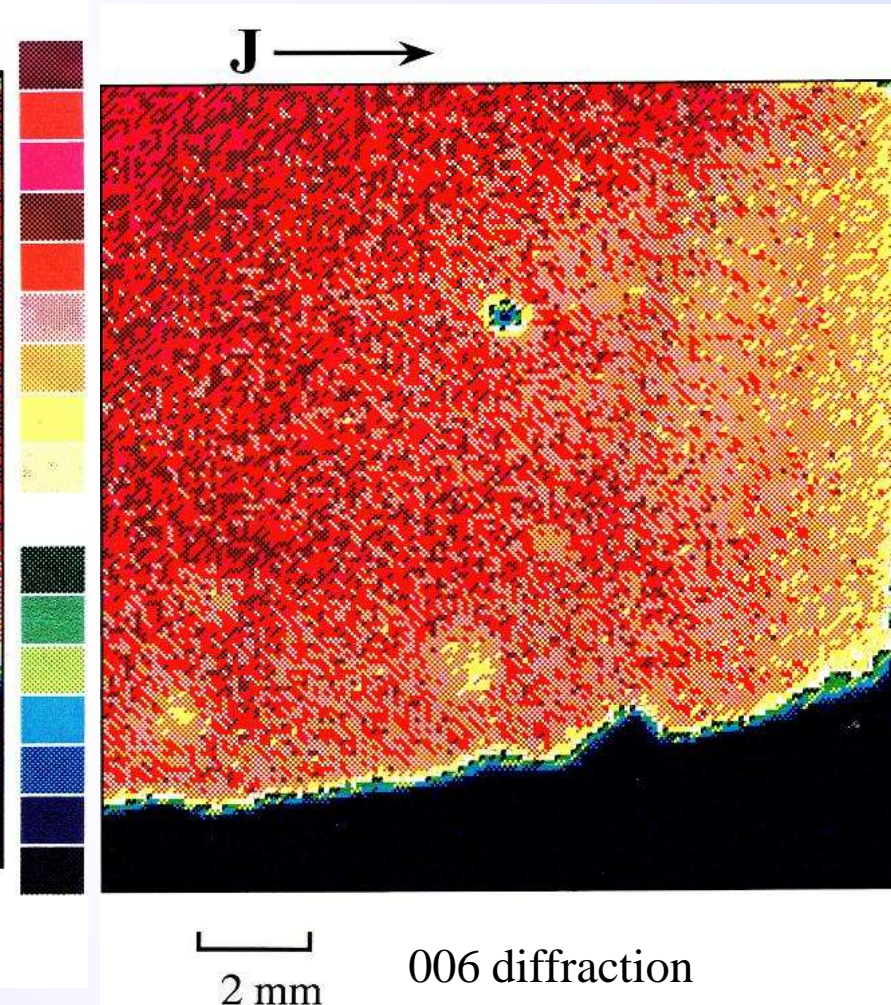
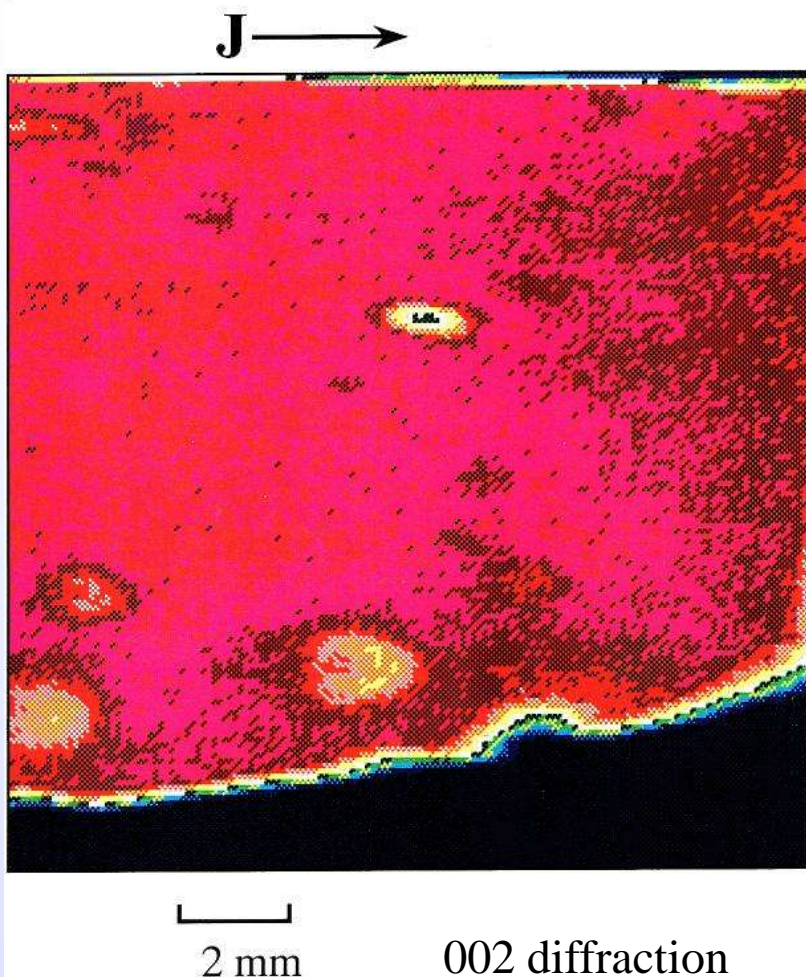
Reconstruction Orientation Topography (ROR) GaAs epitaxial layer (GaAs on Si)



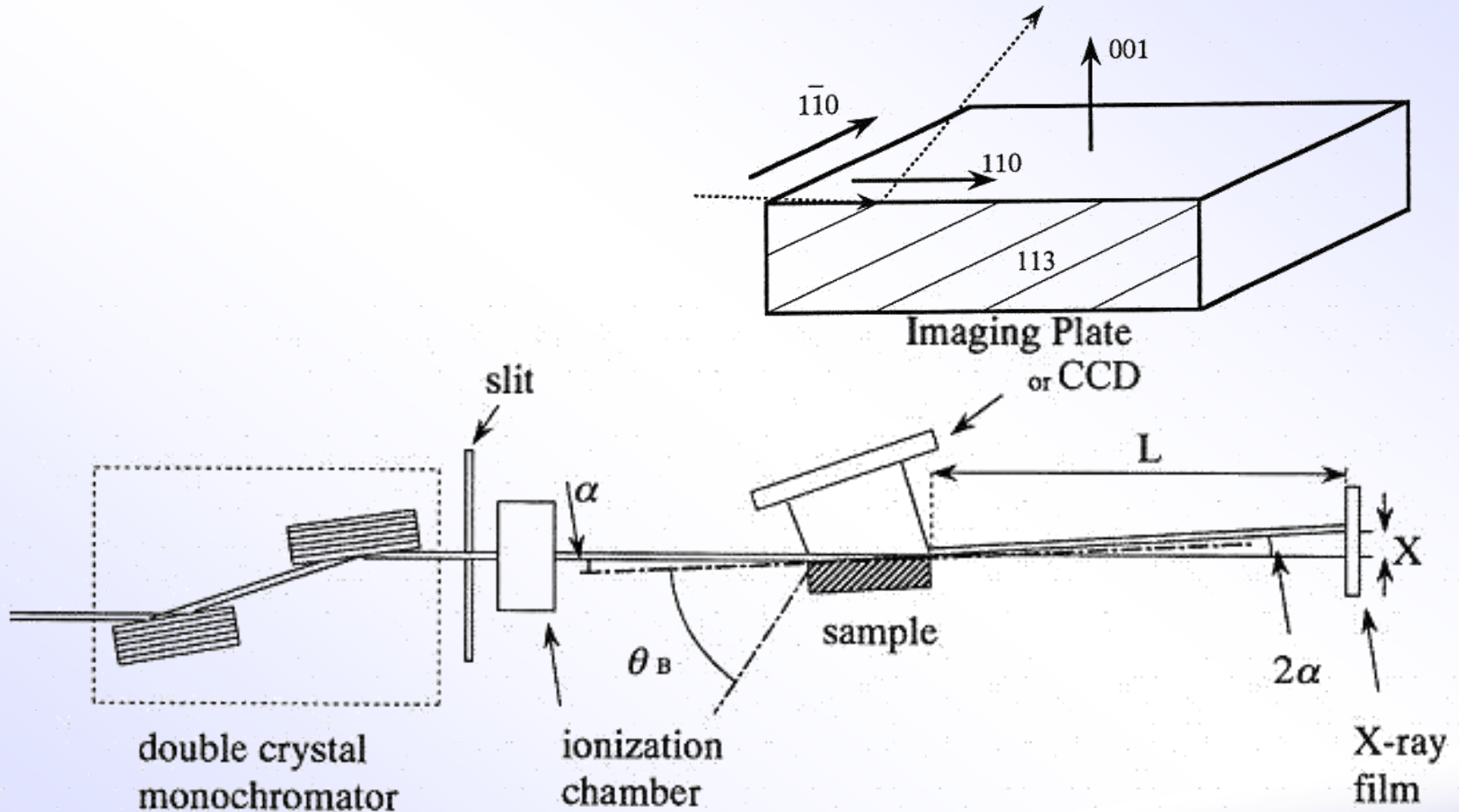
X-ray Scattering Topography (SR) for InAs on GaAs



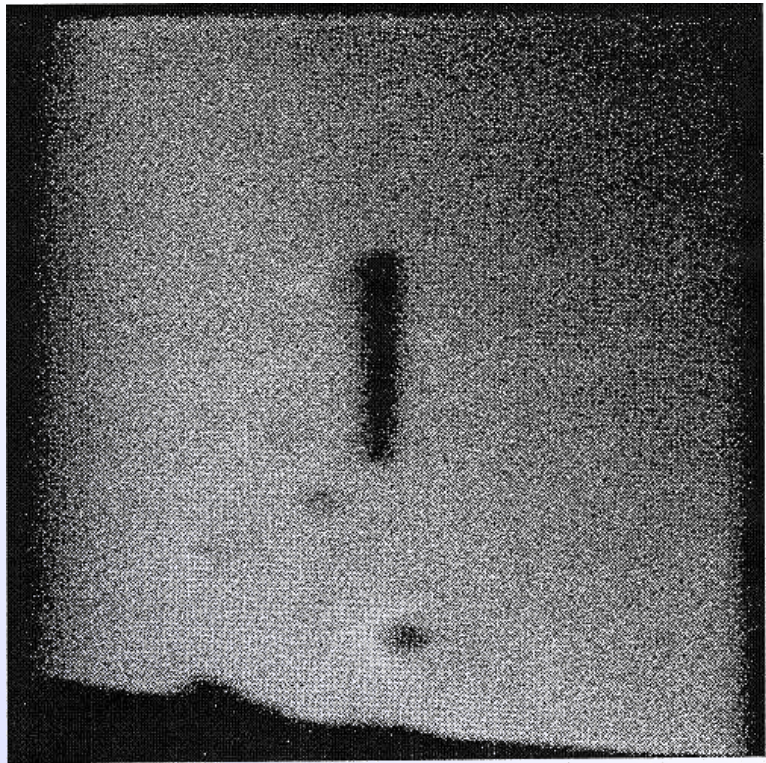
X-ray Scattering Topography (SR) InAs on GaAs with 002, 006 diffraction



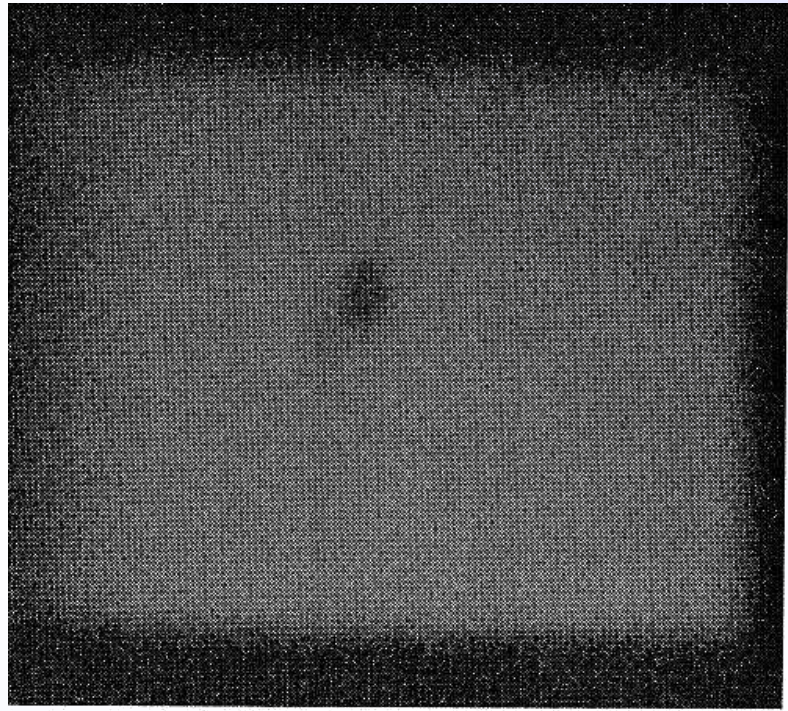
Diffraction geometry with the crystal orientation and X-ray Optics at HASYLABO



Topographs of InAs epitaxial layer



113 GID
 $E = 7.6 \text{ keV}$
 $\alpha_i = 0.95^\circ$



006 sym.
 $E = 11.48 \text{ keV}$
 $\alpha_i = 31.98^\circ$

2013/9/10

14

$$l_{ex} = \frac{\lambda (\gamma_0 |\gamma_h|)^{1/2}}{2 \pi C |\chi_g|}$$

l_{ex} : extinction distance

$$\gamma_0 = \sin(\theta_B - \alpha), \quad \gamma_h = \sin(\theta_B + \alpha)$$

C : Polarization factor

λ : Wavelength of X-ray

χ : Electric Susceptibility

$$\chi = R_e \frac{\lambda^2 F}{\pi V_a}$$

R_e : classical electron radius

V_a : unit cell volume

F : structure factor

	InAs	GaAs
200	$1.025 \mu\text{m}$	$4.986 \mu\text{m}$
400	$0.589 \mu\text{m}$	$0.674 \mu\text{m}$
600	$5.753 \mu\text{m}$	$14.47 \mu\text{m}$

■ 高木方程式

X線の結晶内の振る舞いを説明する式であり、歪みを含む不完全結晶にも適用できる動力学的回折理論の基本方程式

$$\frac{\partial}{\partial S_0} D_0 = -i\pi K \chi_{\bar{h}} D_h(\mathbf{r})$$

$$\frac{\partial}{\partial S_h} D_h = -i\pi K \chi_h D_0(\mathbf{r}) + 2i\pi [K \beta_h - \frac{\partial}{\partial S_h} \{ \mathbf{h} \cdot \mathbf{u}(\mathbf{r}) \}] D_h(\mathbf{r})$$

D_0 ：透過波の振幅 D_h ：回折波の振幅 χ ：電気感受率 $u(r)$ ：原子の格子点からの変位 \mathbf{r} ：結晶の変位ベクトル \mathbf{h} ：回折波のベクトル S_h ：回折方向 S_0 ：透過方向 K ：波数 β_h ：ブラッグ角からのはずれを示すパラメータ

コンピュータシミュレーション

プログラムしやすい形にするため、高木方程式を
アップルボーインの近似式” half-step deviation”を用いて式
の変形させる。

$$\begin{bmatrix} D_0(s_0, s_h) \\ D_h(s_0, s_h) \end{bmatrix} = 1/d \begin{bmatrix} C_2 & AC_2 & AB & AC_1 \\ B & AB & B & C_1 \end{bmatrix} \begin{bmatrix} D_0(s_0 - p, s_h) \\ D_h(s_0 - p, s_h) \\ D_0(s_0, s_h - q) \\ D_h(s_0, s_h - q) \end{bmatrix}$$

$$A = -\frac{1}{2} ip\pi K \chi_{\bar{h}}$$

$$B = -\frac{1}{2} iq\pi K \chi_h$$

$$W = iq\pi \left\{ K\beta_h - \frac{\partial}{\partial s_h} [h \cdot u(\mathbf{r})] \right\}$$

A:回折の関数
B:透過の関数
W:ずれの関数

$$d = 1 - W - AB$$

$$C_1 = 1 + W$$

$$C_2 = 1 - W$$

2013/9/10

計算 1.0 μm InAs

$$\frac{\partial}{\partial S_0} D_0 = -i\pi K \chi_{\bar{h}} D_h(\mathbf{r})$$

$$\frac{\partial}{\partial S_h} D_h = -i\pi K \chi_h D_0(\mathbf{r}) + 2i\pi [K \beta_h - \frac{\partial}{\partial S_h} \{\mathbf{h} \cdot \mathbf{u}(\mathbf{r})\}] D_h(\mathbf{r})$$

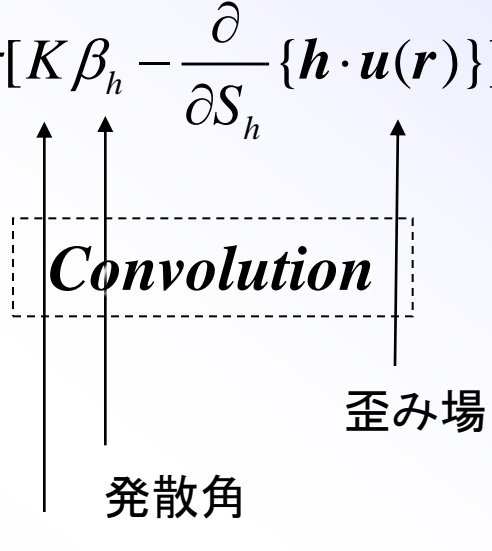
▲ ブラック-ケース

▲ 境界条件

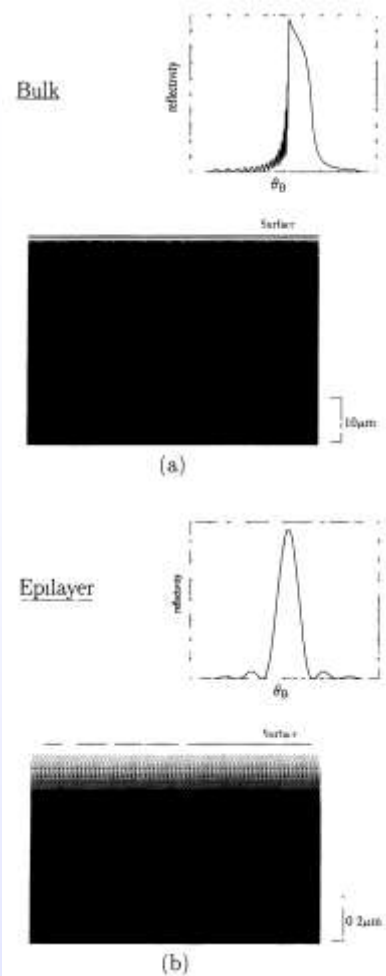
: 界面で、

$$D_h = 0, D_0 = 1$$

▲ 相反原理

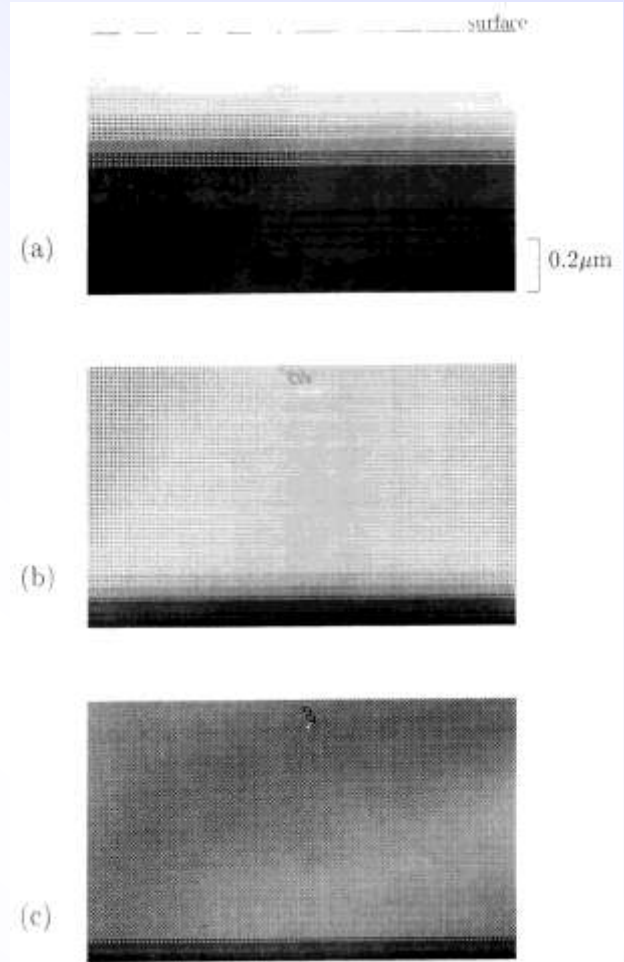


2. X-ray Penetration Depth for Large Lattice-Mismatched Heteroepitaxial Layer by Dynamical Diffraction Theory using Computer Simulation



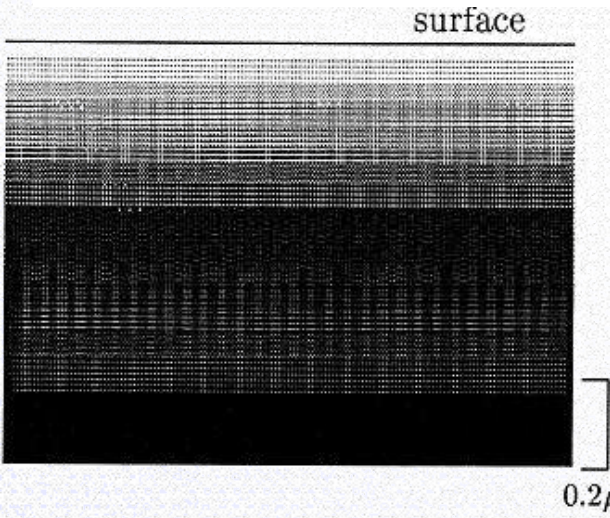
Bragg-case
におけるバ
ルク及び薄
膜の回折強
度曲線

エピ膜（歪場を含
む）断面の回折強
度分布

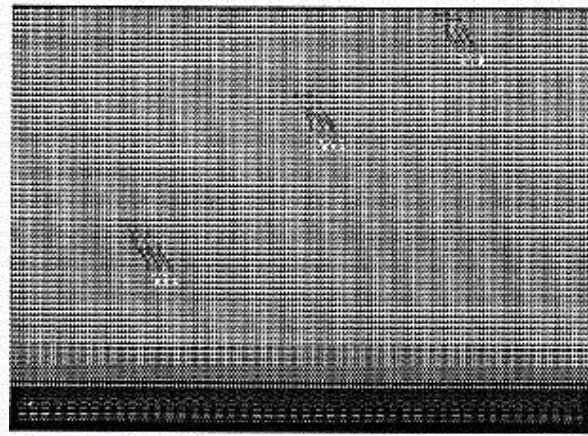


エピ層断面の波動場（歪み場を含む）

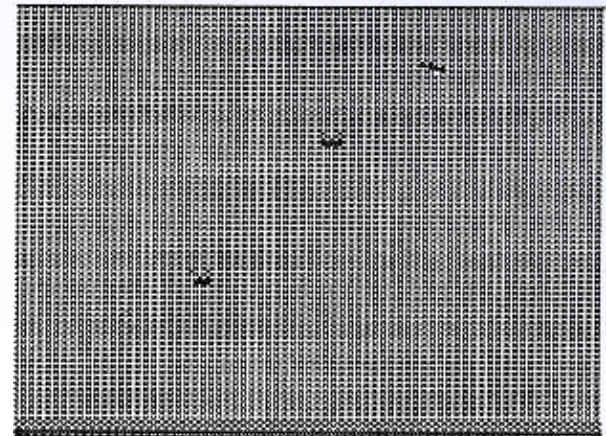
002



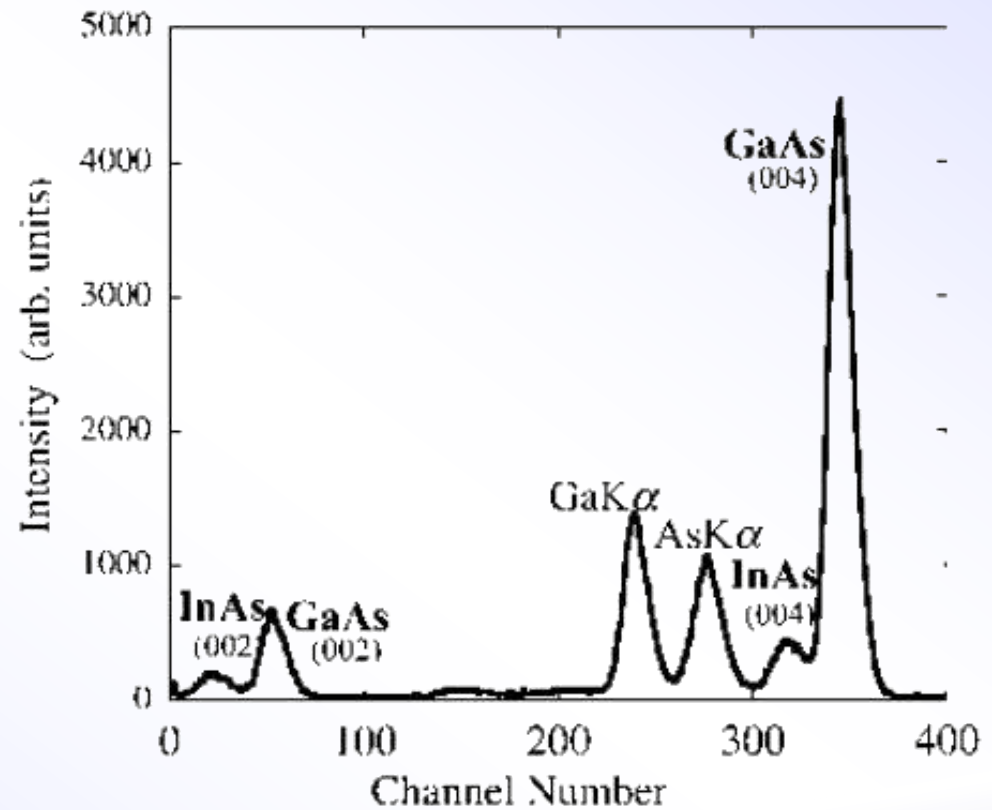
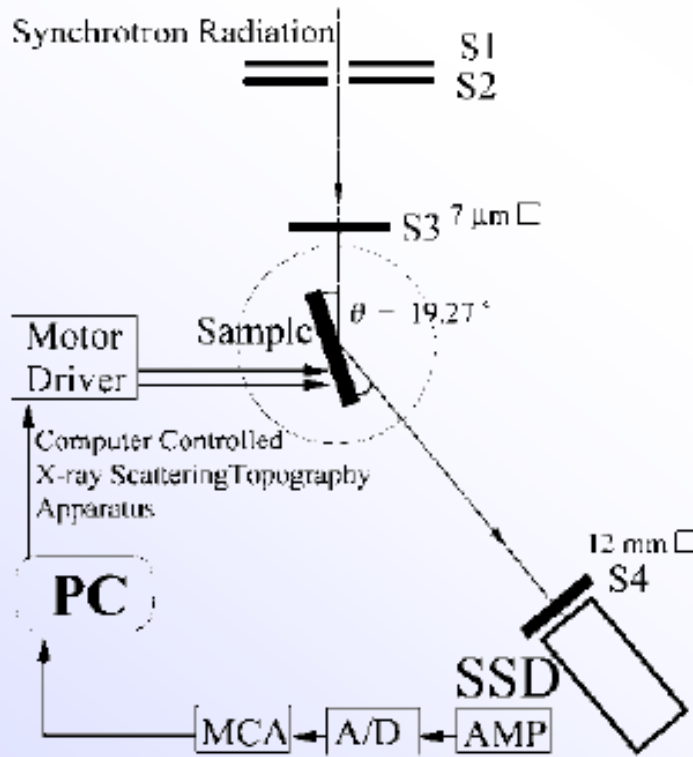
004



006

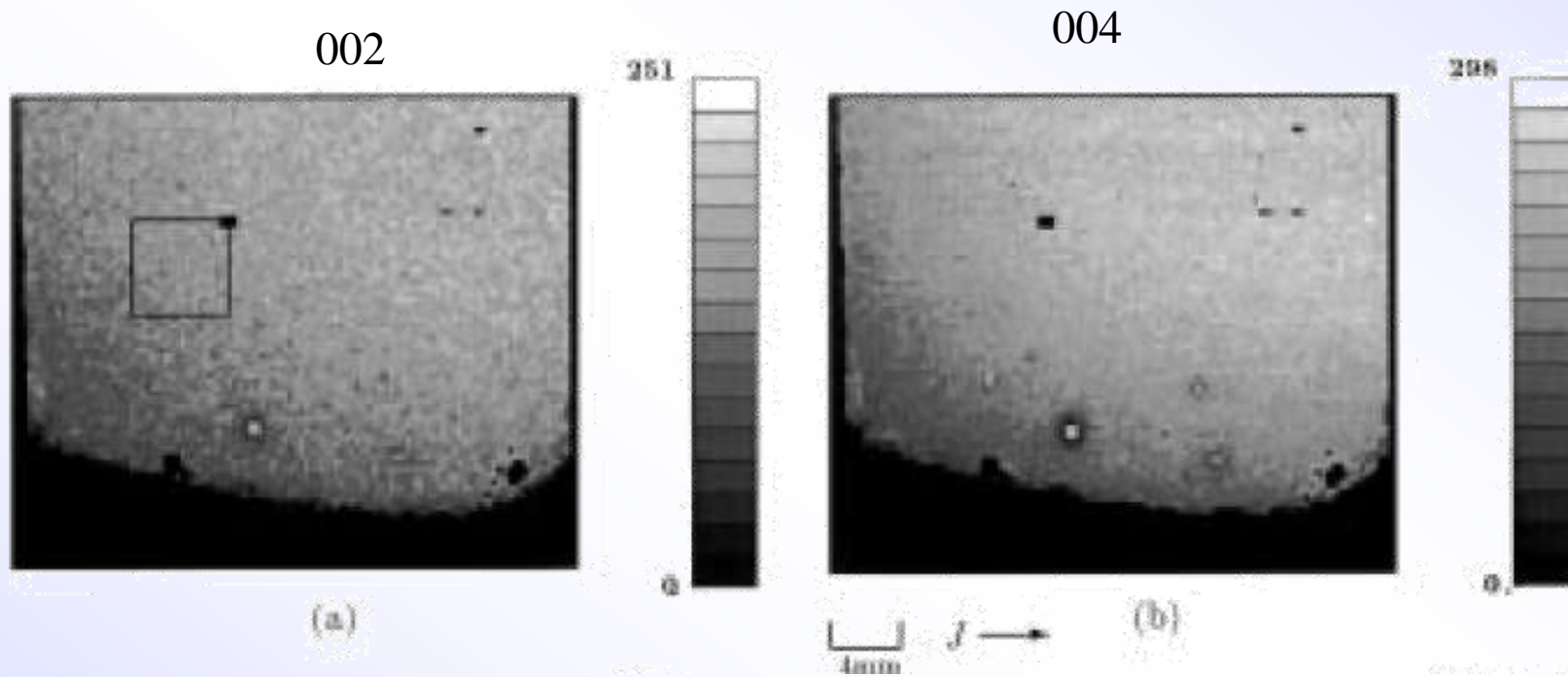


Energy-Dispersive Synchrotron Radiation Topographic Observation of InAs/GaAs Lattice-Mismatched Layer

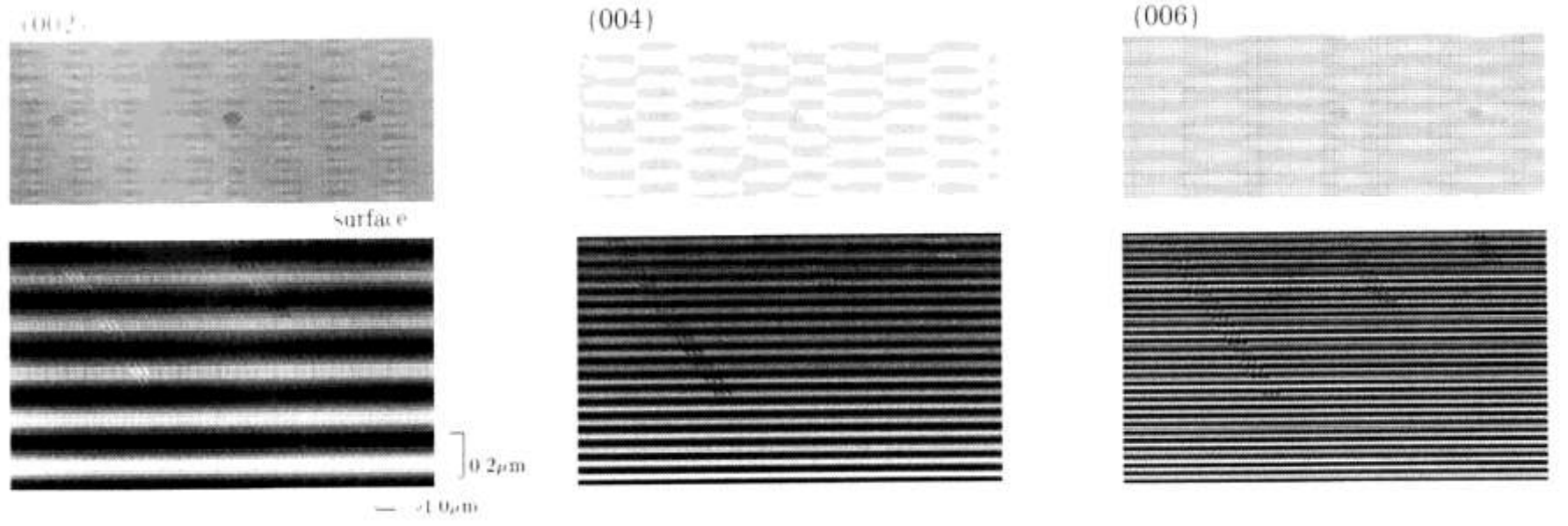




Energy-Dispersive Synchrotron Radiation Topographic Observation of InAs Layer



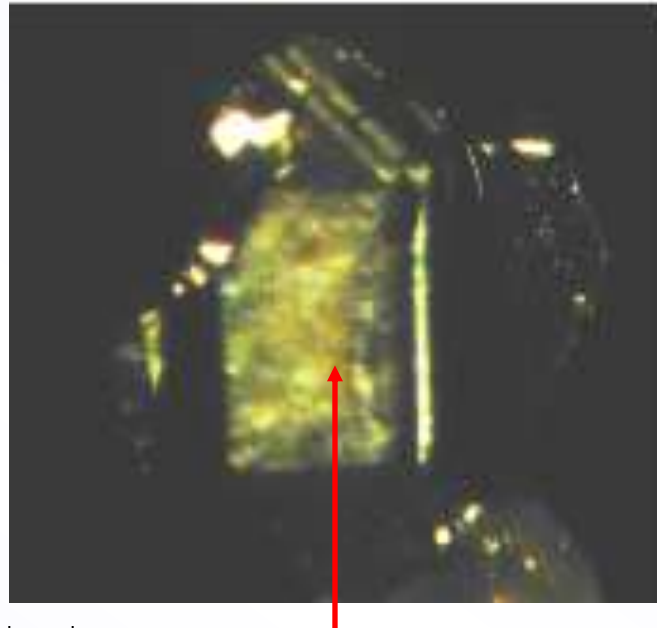
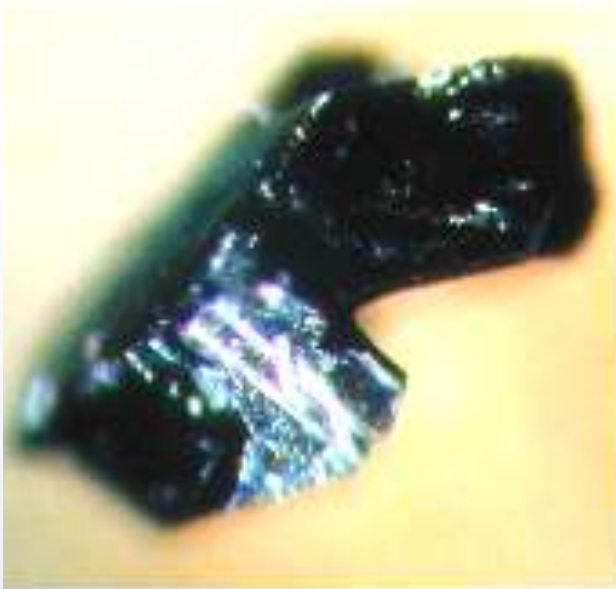
Energy-Dispersive Synchrotron Radiation Topographic Observation of InAs/GaAs Lattice-Mismatched Layer



エピ膜（歪場を含む）断面の回折強度分布



Lattice Orientation Imaging of C₆₀-Fullerene Single Crystal using CCD Detector

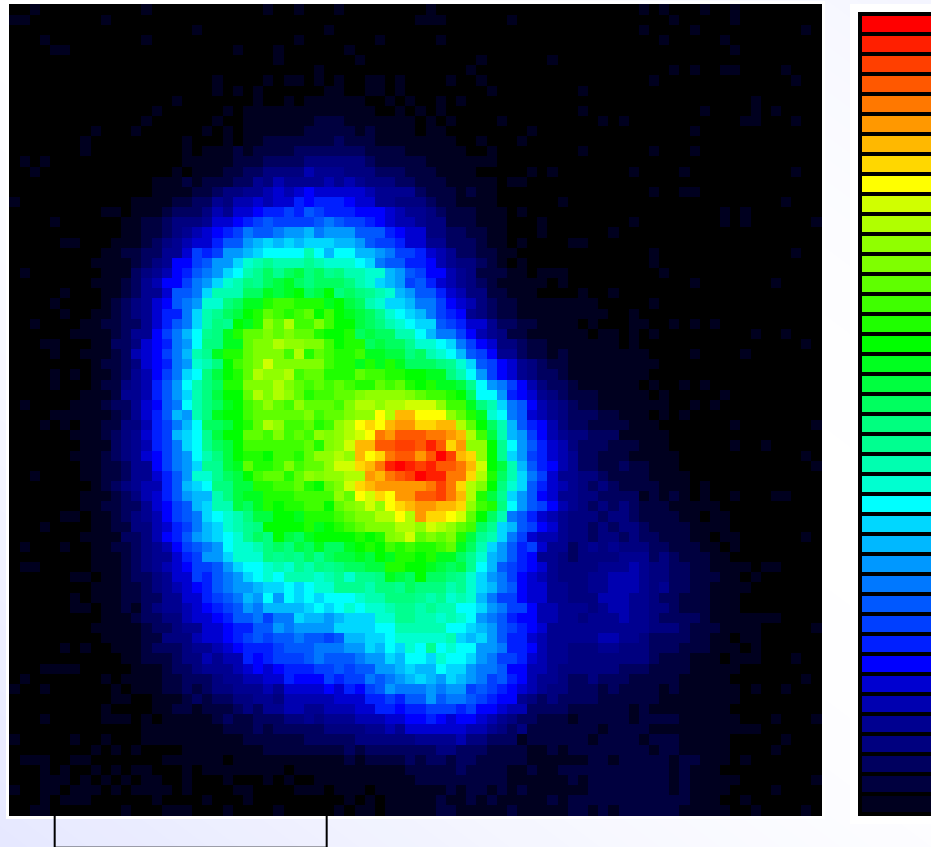


0.1 mm

(2 0 0)

C₆₀ 单結晶

C₆₀ X線散乱トポグラフ像

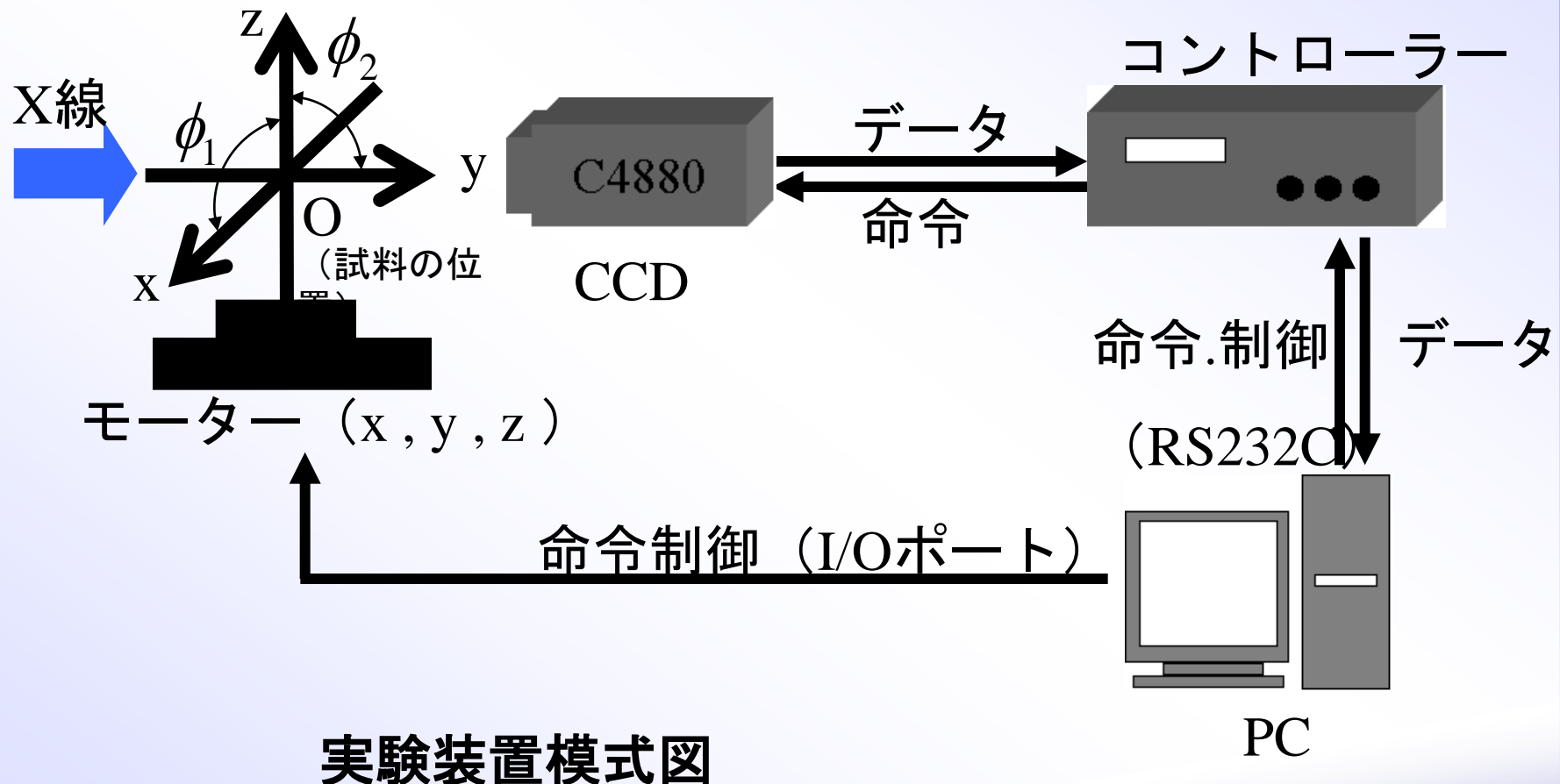


試料 : C₆₀ 単結晶

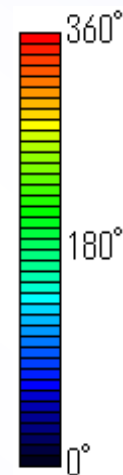
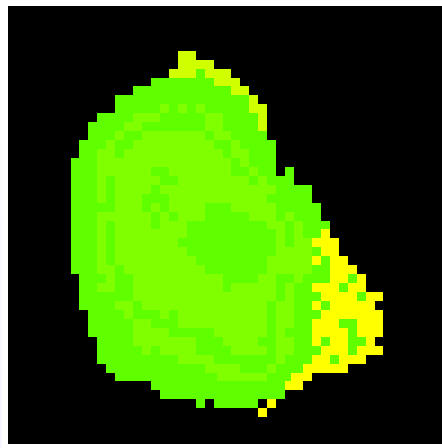
80 × 80

Step : 10 μm

実験装置 測定系



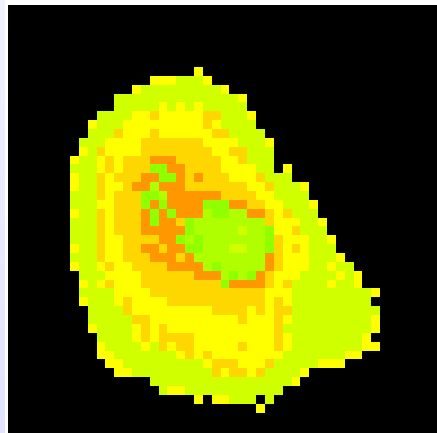
CCDを用いたX線散乱トポグラフ（角度差： ϕ_1 方向、閾値：低）



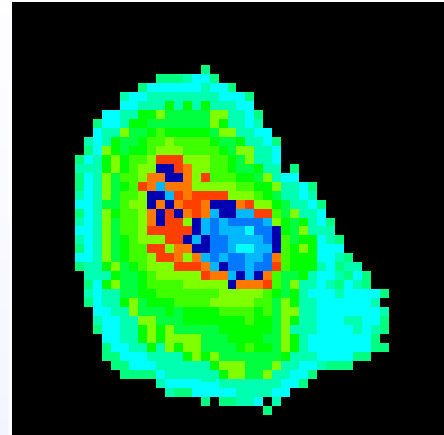
(1) $180^\circ \pm 180^\circ$



(2) $180^\circ \pm 90^\circ$



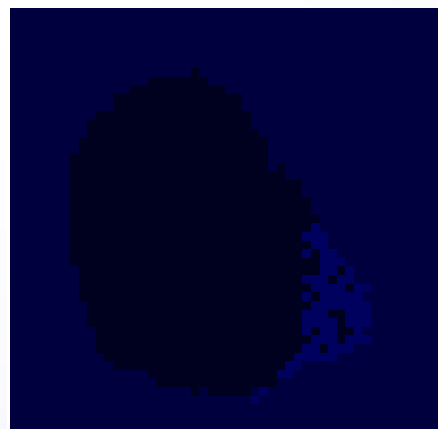
(3) $220^\circ \pm 50^\circ$



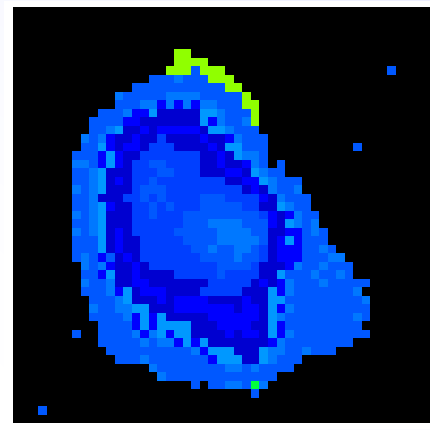
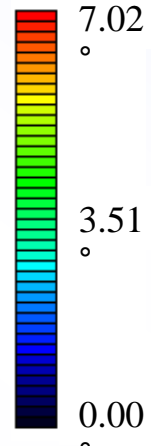
(4) $250^\circ \pm 10^\circ$

2013/9/10

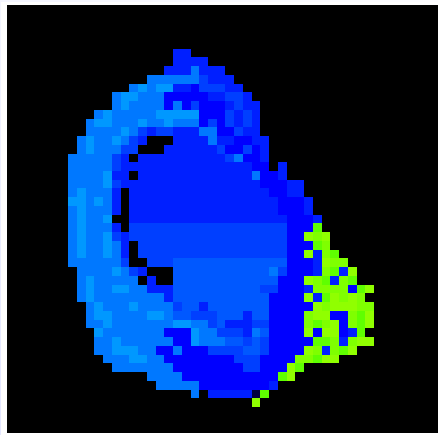
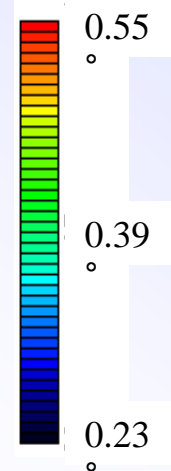
CCDを用いたX線散乱トポグラフ（角度差： ϕ_2 方向、閾値：低）



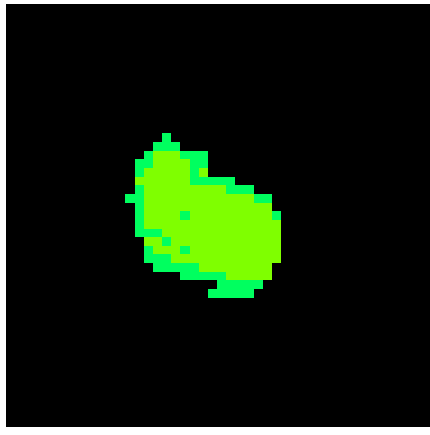
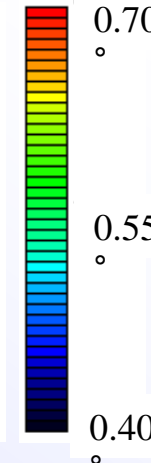
(1) $3.51^\circ \pm 3.51^\circ$



(2) $0.39^\circ \pm 0.16^\circ$



(3) $0.55^\circ \pm 15^\circ$



(4) $0.31^\circ \pm 0.01^\circ$



背景-これまでの研究結果(逆格子空間)

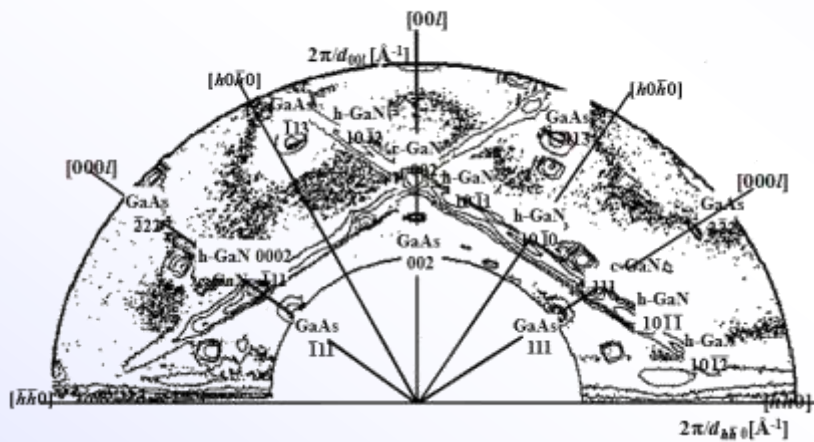


図1 X-ray reciprocal space map at $\varphi = 0^\circ$

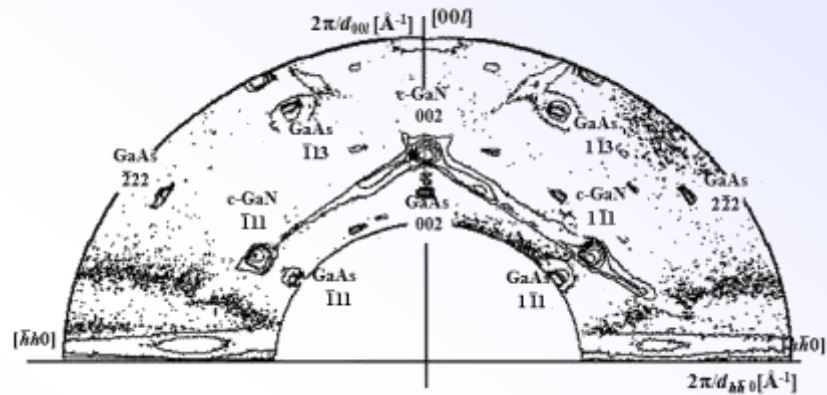
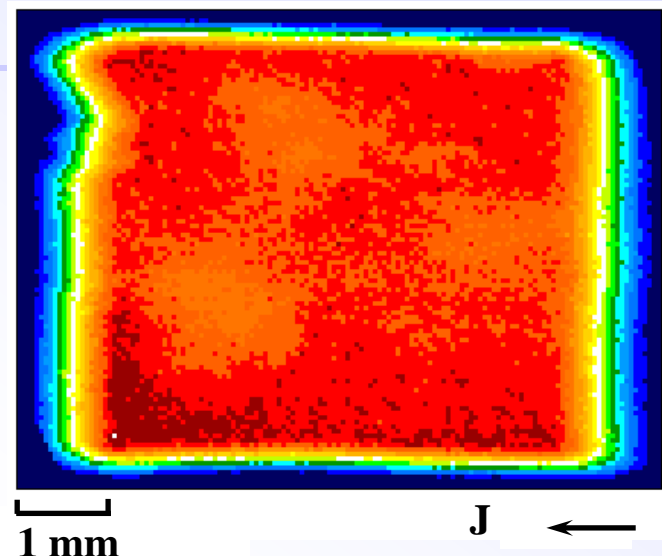
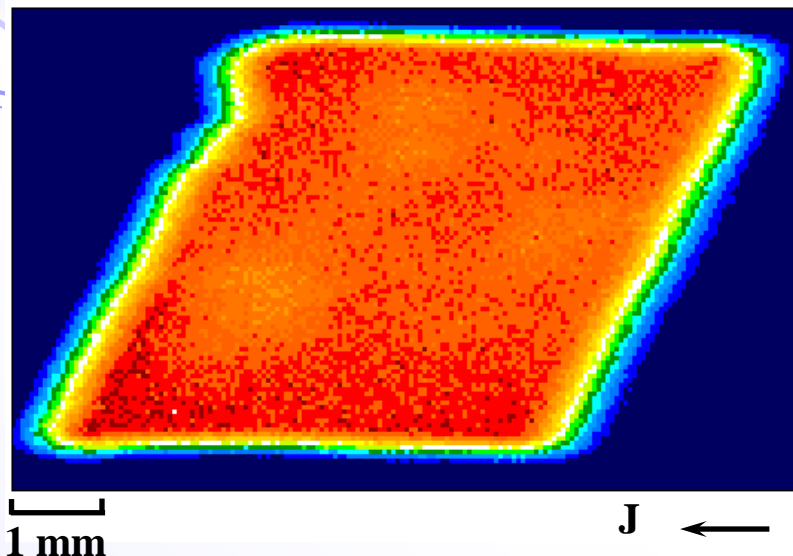


図2 X-ray reciprocal space map at $\varphi = 90^\circ$

JOURNAL OF APPLIED PHYSICS 101, No.6 (2007) 255-258.

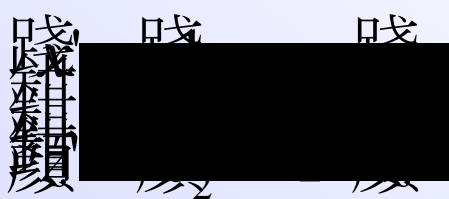
X-ray reciprocal space maps and x-ray scattering topographic observation of GaN layer on GaAs (001) in plasma-assisted molecular beam epitaxy

Yoshifumi Suzuki, Masakazu Shinbara , Hideki Kii , Yoshinori Chikaura



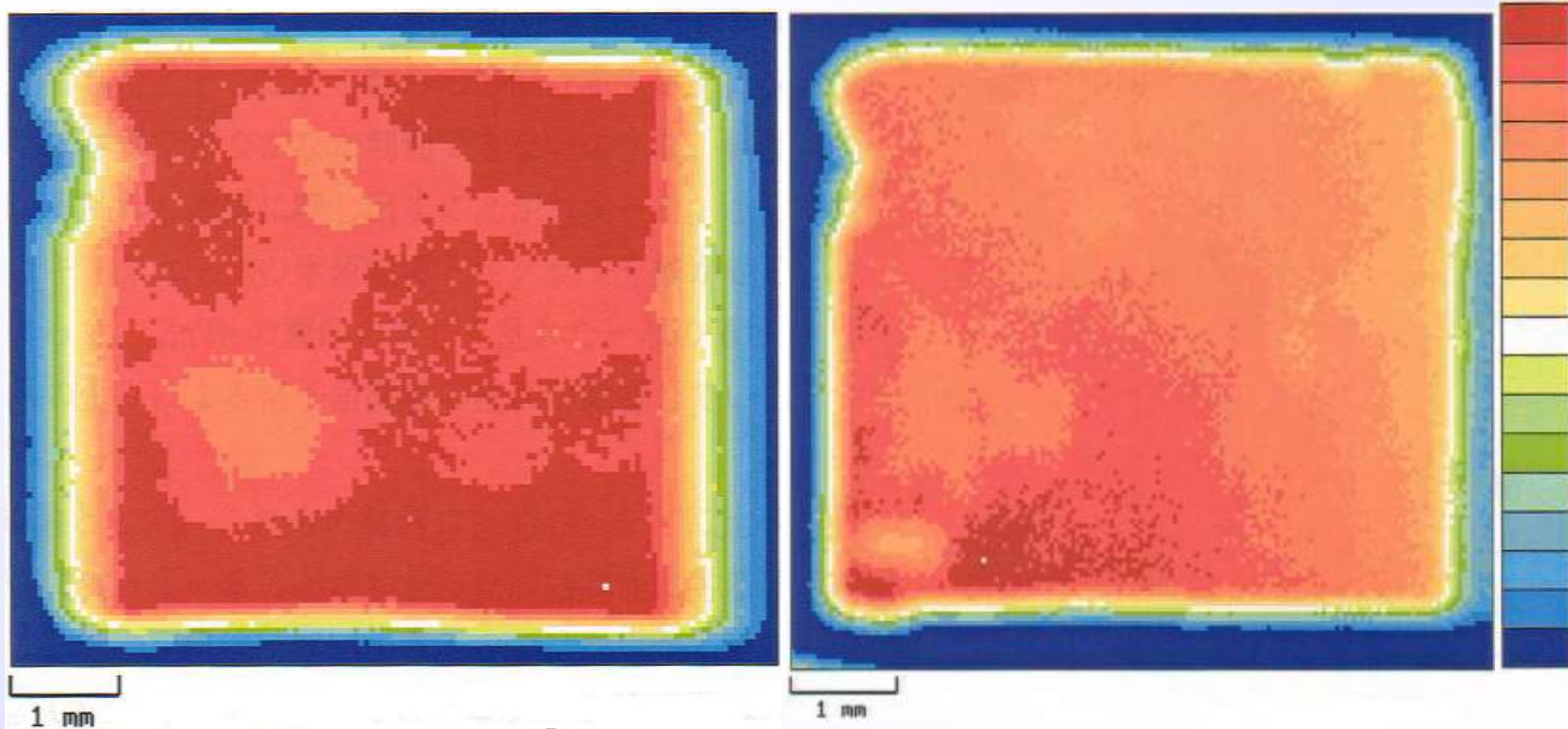
Affine transformation

linear interpolation



$$I(i,j) = I(x, h)(1-p)(1-q) + I(x+1, h)p(1-q) \\ + I(x, h+1)(1-p)q + I(x+1, h+1)pq$$

X線散乱トポグラフィ



ウルツァイトGaN(1011)

ジンクブレンドGaN(004)

ジンクブレンドGaN 220

